

令和4年度第1次募集（令和3年10月入学含む）  
新潟大学大学院自然科学研究科博士前期課程入学者選抜試験問題

一般選抜

材料生産システム専攻  
機能材料科学コース(物性系)

B1

**専門科目（材料科学（物性系））**

**注意事項**

- 1 この問題冊子は、試験開始の合図があるまで開いてはならない。
- 2 問題冊子は、表紙を含めて全部で9ページある。
- 3 解答は、すべて解答用紙の指定された箇所に記入すること。
- 4 受験番号は、各解答用紙の指定された箇所に必ず記入すること。
- 5 解答時間は、120分である。
- 6 下書きは、問題冊子の余白を使用すること。

[ I ] 量子物理学に関する以下の設問 (1) と (2) に答えよ。

(1) 物理量に対応する演算子に関する以下の問①～③に答えよ

- ① 物理量の測定値は実数であり、任意の状態に対応する固有値は実数である。したがって物理量に対応する演算子は( )演算子である。括弧の中に入る適切な語句を書け。
- ② 物理量 $Q$ に対応する演算子を $\hat{Q}$ とする。その固有状態を $|\psi_1\rangle$ と $|\psi_2\rangle$ 、固有値をそれぞれ $q_1$ と $q_2$ であるとする。ただし  $q_1 \neq q_2$  である。このとき、 $|\psi_1\rangle$ と $|\psi_2\rangle$ が直交することを示せ。
- ③ 物理量 $P$ に対応する演算子を $\hat{P}$ とする。前問②の $\hat{Q}$ との交換関係が、

$$[\hat{P}, \hat{Q}] = 0,$$

であるとき、 $\hat{P}$ と $\hat{Q}$ に対して同時に固有状態となる状態が存在することを示せ。

(2) 球対称ポテンシャル $V(r)$ の中の電子に関する以下の問①～⑥に答えよ。  
ここで、 $r$ は位置ベクトル $\mathbf{r}$ の大きさである。

- ① 電子の質量 $m_e$ 、波動関数 $u(\mathbf{r})$ 、エネルギー固有値 $E$ および $V(r)$ を用いてシュレーディンガーエ方程式を書け。
- ② 極座標で表した波動関数を変数分離の形で $u(r, \theta, \varphi) = R_{n,l}(r)Y_{l,m}(\theta, \varphi)$ と表す。ここで、 $n, l, m$ はそれぞれ主量子数、方位量子数、磁気量子数を表す。 $n = 3$ であるときに、 $l$ のとり得る値を書け。
- ③  $n = 1, l = 0$ に対応する軌道は 1s 軌道と呼ばれている。 $n = 4, l = 3$ に対しては何軌道と呼ばれるかを書け。

[次ページに続く]

- ④  $l = 1$ であるときの $Y_{1,m}(\theta, \varphi)$ は、軌道角運動量演算子 $\hat{\mathbf{L}}$ およびその $z$ 成分 $\hat{L}_z$ に対して以下の関係,

$$\hat{\mathbf{L}}^2 Y_{1,m}(\theta, \varphi) = 2\hbar^2 Y_{1,m}(\theta, \varphi),$$

$$\hat{L}_z Y_{1,m}(\theta, \varphi) = m\hbar Y_{1,m}(\theta, \varphi),$$

が成り立つ。ここで、 $m = -1, 0, 1$ である。 $Y_{1,1}(\theta, \varphi)$ ,  $Y_{1,0}(\theta, \varphi)$ ,  $Y_{1,-1}(\theta, \varphi)$ を基底とし $\hat{\mathbf{L}}^2$ を行列で表せ。ここで、 $\hbar = h/(2\pi)$ であり、 $h$ はプランク定数である。

- ⑤  $\hat{\mathbf{L}}$ の $x$ ,  $y$ および $z$ 成分に対応する行列はそれぞれ,

$$\hat{L}_x = \frac{\hbar\sqrt{2}}{2} \begin{pmatrix} 0 & 1 & 0 \\ 1 & 0 & 1 \\ 0 & 1 & 0 \end{pmatrix},$$

$$\hat{L}_y = \frac{\hbar\sqrt{2}}{2i} \begin{pmatrix} 0 & 1 & 0 \\ -1 & 0 & 1 \\ 0 & -1 & 0 \end{pmatrix},$$

$$\hat{L}_z = \hbar \begin{pmatrix} 1 & 0 & 0 \\ 0 & 0 & 0 \\ 0 & 0 & -1 \end{pmatrix},$$

である。 $\hat{L}_x$ と $\hat{L}_z$ の交換関係 $[\hat{L}_x, \hat{L}_z]$ を求め、 $\hat{L}_y$ を用いて示せ。

- ⑥  $Y_{1,1}(\theta, \varphi)$ ,  $Y_{1,0}(\theta, \varphi)$ ,  $Y_{1,-1}(\theta, \varphi)$ は $\hat{L}_x$ の固有関数ではない。 $\hat{L}_x$ の固有関数は,

$$\Psi_a(\theta, \varphi) = \frac{1}{2} \left( Y_{1,1}(\theta, \varphi) - \sqrt{2}Y_{1,0}(\theta, \varphi) + Y_{1,-1}(\theta, \varphi) \right),$$

$$\Psi_b(\theta, \varphi) = \frac{1}{2} \left( Y_{1,1}(\theta, \varphi) + \sqrt{2}Y_{1,0}(\theta, \varphi) + Y_{1,-1}(\theta, \varphi) \right),$$

$$\Psi_c(\theta, \varphi) = \frac{1}{\sqrt{2}} \left( Y_{1,1}(\theta, \varphi) - Y_{1,-1}(\theta, \varphi) \right),$$

である。それぞれの固有関数の固有値を求めよ。

[ II ]  $N$  個の独立な粒子からなる系がある。各々の粒子は、 $E_0 = 0$  と  $E_1 = k_B\Delta > 0$  のエネルギー状態しかとり得ないとする。 $E_0$  の状態は縮退がなく、 $E_1$  の状態は 2 重縮退しているものとする。 $k_B$  はボルツマン定数である。温度、エントロピーおよび体積をそれぞれ  $T$ ,  $S$ ,  $V$  として以下の設問 (1) ~ (10) に答えよ。

(1) ボルツマンの原理から  $T \gg \Delta$  におけるエントロピーの値を求めよ。

(2) ボルツマンの原理から  $T \ll \Delta$  におけるエントロピーの値を求めよ。

(3) この系の分配関数  $Z$  を求めよ。

(4) 前設問 (3) を使って、ヘルムホルツの自由エネルギー  $F$  を求めよ。

(5) 热力学関係式

$$\left(\frac{\partial F}{\partial T}\right)_V = -S$$

が成り立つことを示せ。

(6) 設問 (4) と (5) を使って、エントロピー  $S$  を求めよ。

(7) 前設問 (6) の結果から、 $T \rightarrow \infty$  のときのエントロピーの値を求めよ。

(8) 設問 (6) の結果から、 $T \rightarrow 0$  のときのエントロピーの値を求めよ。

(9) 設問 (6) あるいは設問 (1) と (2) からエントロピーの温度変化を表すグラフの概略を図示せよ。縦軸を  $S$ 、横軸を  $T$  とする。

(10) 前設問 (9) の結果から定積比熱  $C_V$  の温度変化を表すグラフの概略を図示し、そのようなグラフになる理由を述べよ。縦軸を  $C_V$ 、横軸を  $T$  とする。

[III] 半導体に関する以下の設問（1）と（2）に答えよ。

(1) 長さ  $L$ , 厚さ  $D$ , 幅  $W$  の直方体の p 形半導体において, 長さ方向に電圧を印加した。このとき, p 形半導体の中を電流が一様な密度で流れているものとする。次の問①～⑤に答えよ。

- ① 長さ方向の電圧を  $V$ , 正孔濃度を  $p$ , 電子の移動度を  $\mu$ , 正孔の電荷を  $q$  として, 電流密度の大きさ  $j$  を  $V$  を含む式で表せ。
- ② 磁束密度  $B$  を p 形半導体の厚さ方向にかけたとき, 正孔にはたらくローレンツ力の大きさを求めよ。
- ③ 前問②において十分な時間が経過したとき, 電流と磁束密度に垂直な向きに発生するホール電圧  $V_H$  が, 次式で表せるこことを示せ。ただし,  $I$  は p 形半導体に流れる電流である。

$$V_H = \frac{IB}{Dqp}$$

- ④ 移動度  $\mu$  を, ホール電圧  $V_H$  と導電率  $\sigma$  を用いた式で表せ。
- ⑤ 直方体の半導体試料が, p 形半導体ではなく, n 形半導体である場合, ホール電圧  $V_H$  においてどのような変化が生じるかを, 理由と共に説明せよ。

(2) 図 1 に示す金属(M)-絶縁体(I)-p 形半導体(S)構造において, p 形半導体の電極(半導体とオーム接触 (Ohmic contact) している)を接地し, 金属に電圧  $V_G$  をかけるものとする。なお, 金属に正の電圧をかけるとき,  $V_G > 0$  とする。図 2 は  $V_G = 0$  のときの MIS 構造における熱平衡状態でのエネルギー帯図である。p 形半導体にはアクセプタ不純物のみが添加されていて, すべてイオン化しているものとする。 $\phi_M$  及び  $\phi_S$  はそれぞれ金属及び p 形半導体の仕事関数で,  $\phi_M = \phi_S$  である。 $E_{FM}$  及び  $E_{FS}$  はそれぞれ金属及び p 形半導体のフェルミ準位,  $E_C$  及び  $E_V$  はそ

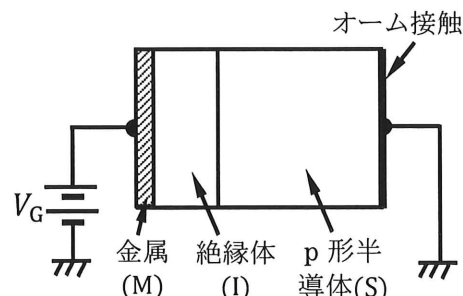


図 1 金属(M)-絶縁体(I)-p 形半導体(S)構造の概略図

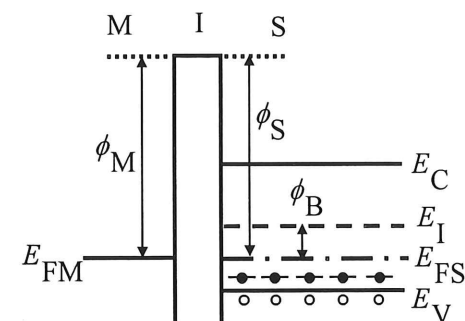


図 2 金属(M)-絶縁体(I)-p 形半導体(S)構造における  $V_G = 0$  での熱平衡状態のエネルギー帯図

それぞれ p 形半導体の伝導帯下端及び価電子帶上端のエネルギー,  $E_I$ は禁制帶の中央の  $(E_C + E_V)/2$  のエネルギー,  $\phi_B$ は  $E_I$ と  $E_{FS}$ の差である。また、図 3~5 の上段は異なるゲート電圧  $V_G$ を印加して十分な時間が経過したときのエネルギー帶図を示し、それらの下段は  $x$  軸を接合界面に垂直な方向にとって、絶縁体と p 形半導体の接合界面を  $x=0$ としたときの電荷密度  $\rho$ の分布の様子に対応している。ただし、 $V_S$ は p 形半導体内部に対する p 形半導体表面の電位であり、それに相当するエネルギーの大きさが  $q|V_S|$ で表されている。ここで  $q$ は電子の電荷の大きさ ( $q > 0$ )である。また、-○- は中性のアクセプタ、-●- はイオン化したアクセプタ、● は電子、○ は正孔を表している。以下の問①~④に答えよ。

- ① 図 3 の上段は  $V_G < 0$ におけるエネルギー帶図を示す。金属の絶縁体界面付近には負の電荷が分布している。p 形半導体で正孔が過剰に分布している領域 ( $0 < x < x_a$ )における  $\rho$ の様子を、解答用紙の図 A に描け。また、この領域は何層と呼ばれるかを答えよ。

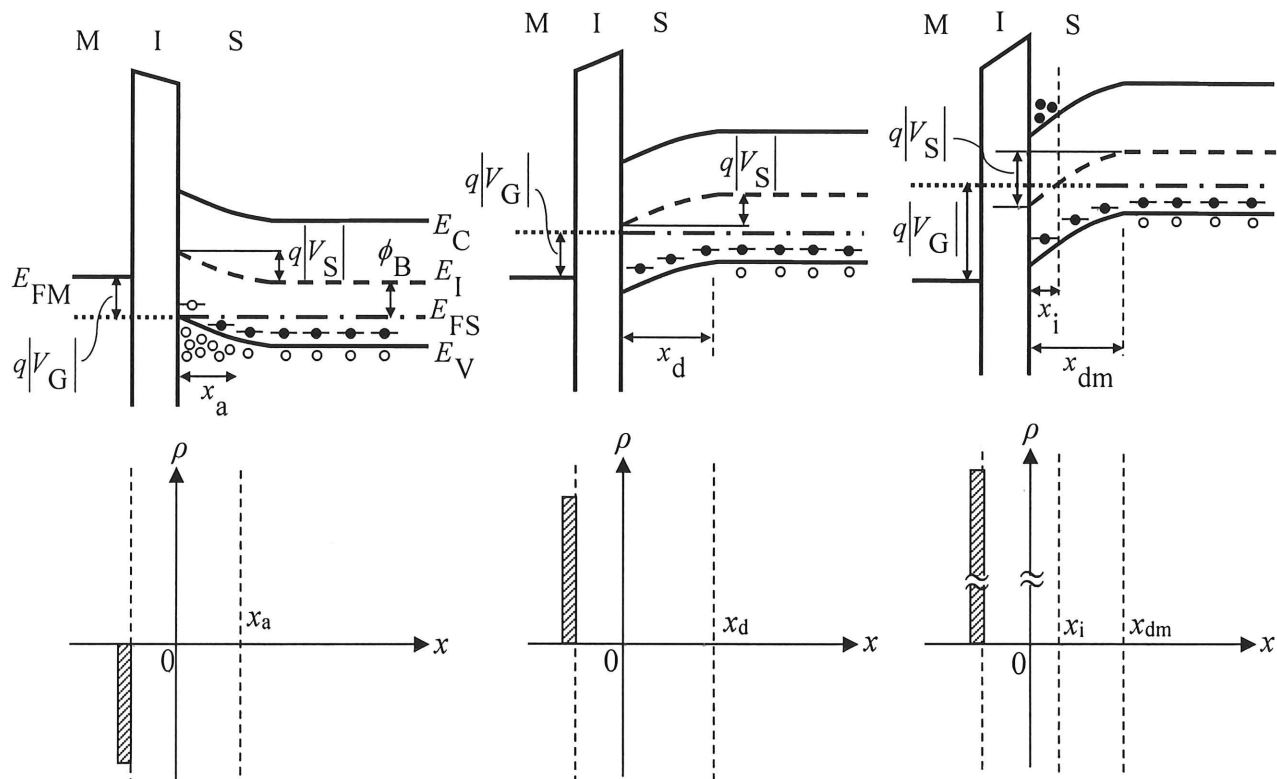


図 3  $V_G < 0$ でのエネルギー帶図と電荷分布の様子

図 4  $V_G > 0$ で、 $V_G$ が小さい場合 ( $q|V_S| < |\phi_B|$ ) のエネルギー帶図と電荷分布の様子

図 5  $V_G > 0$ で、 $V_G$ が大きい場合 ( $|\phi_B| < q|V_S| < 2|\phi_B|$ ) のエネルギー帶図と電荷分布の様子

- ② 図 4 の上段は、 $V_G > 0$  で、 $V_G$  が小さい場合 ( $q|V_S| < |\phi_B|$ ) におけるエネルギー帯図を示す。金属の絶縁体界面付近には正の電荷が分布している。 $p$  形半導体で正孔が分布していない領域 ( $0 < x < x_d$ ) における  $\rho$  の様子を解答用紙の図 B に描け。また、この領域は何層と呼ばれるかを答えよ。
- ③ 図 5 の上段は、 $V_G > 0$  で、 $V_G$  が大きい場合 ( $|\phi_B| < q|V_S| < 2|\phi_B|$ ) におけるエネルギー帯図を示す。金属の絶縁体界面付近には正の電荷が分布しており、その量は前問②の場合よりも大きい。 $p$  形半導体で正孔が分布していない領域 ( $0 < x < x_{dm}$ ) における  $\rho$  の様子を解答用紙の図 C に描け。また、電子の分布領域 ( $0 < x < x_i$ ) は何層と呼ばれるかを答えよ。
- ④ 図 5 の  $p$  形半導体の絶縁体界面付近領域 ( $0 < x < x_i$ ) において、電子濃度が正孔濃度より多い領域が形成される理由を「フェルミ準位」という言葉を用いて説明せよ。

[IV] 固体物性に関する以下の設問(1)と(2)に答えよ。

(1) 原子間隔  $a$  の原子の2次元三角格子（正三角形で敷き詰められた空間で、正三角形の各角に原子が配置されている）を図1のように考える。 $e_x$  と  $e_y$  を直交する  $x$  方向と  $y$  方向の単位ベクトルとしたとき、以下の問①～③に答えよ。

- ① 基本並進ベクトル  $\mathbf{a}_i$  ( $i = 1, 2$ ) を  $a$  と  $e_x$  と  $e_y$  を用いて表せ。
- ② 単位胞に含まれる原子の数を答えよ。
- ③ 逆格子基本ベクトル  $\mathbf{b}_i$  ( $i = 1, 2$ ) を求めよ。

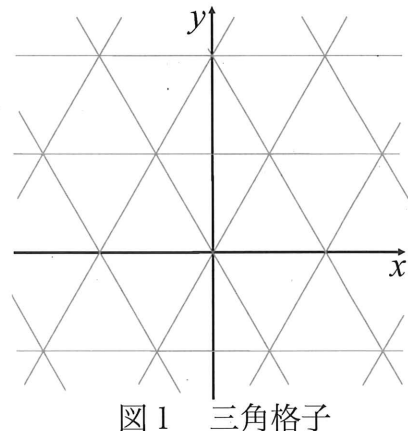


図1 三角格子

(2)  $x$ -軸に沿った1次元空間を質量  $m$  の電子が運動しているとする。以下の問①～⑦に答えよ。

- ① 電子が自由に運動しているとき、電子のシュレーディンガーエルギーは  $\epsilon$ 、波動関数は  $\psi(x)$  とする。
- ② 前問①の固有エネルギーと固有関数(一般解)を求めよ。

以下では、問②の固有関数については波数  $k$  の平面波1成分のみを考える。

- ③ 長さ  $L$  の周期的境界条件の下では波数  $k$  は離散的な値を取り良い量子数となるが、この系に対して離散的な  $k$  の値を求めよ。
- ④ 前問③で考えた長さ  $L$  の1次元系において、格子間隔  $a$  の格子点を導入し  $L = Na$  とする。ただし、 $N$  は格子点の数であり、この格子点はこの段階ではポテンシャルを生じないものとする。このとき、波数空間における第1ブリルアン・ゾーン(すなわち  $k$  の範囲)を答えよ。
- ⑤ 問②で得られた電子のエネルギー  $\epsilon_k$  の  $k$ -依存性を還元ゾーン形式で解答用紙の図2に描き、このときの電子の良い量子数を答えよ。

⑥ 固有関数  $\psi_k(x)$  と  $\psi_{k-K}(x)$  のエネルギーをそれぞれ  $\varepsilon_k$  と  $\varepsilon_{k-K}$  とし、これら 2 つの状態で周期的ポテンシャル  $V(x)$  を挟んで得られる行列要素が  $\langle k|V(x)|k-K\rangle = \langle k-K|V(x)|k\rangle = \tilde{V}$  を満たすとき、電子の固有エネルギーと固有関数は  $V(x)$  の導入により変更される。このときの固有エネルギー  $E$  を求めよ。ここで、 $K$  は逆格子ベクトルである。

⑦ 問⑤では、ある波数  $k$  とある逆格子ベクトル  $K$  において、エネルギー  $\varepsilon_k$  と  $\varepsilon_{k-K}$  が  $\varepsilon_k = \varepsilon_{k-K}$  を満たす。各格子点に同種のイオンを置き、系に周期的ポテンシャル  $V(x)$  を導入することにより何が起こるか説明せよ。